

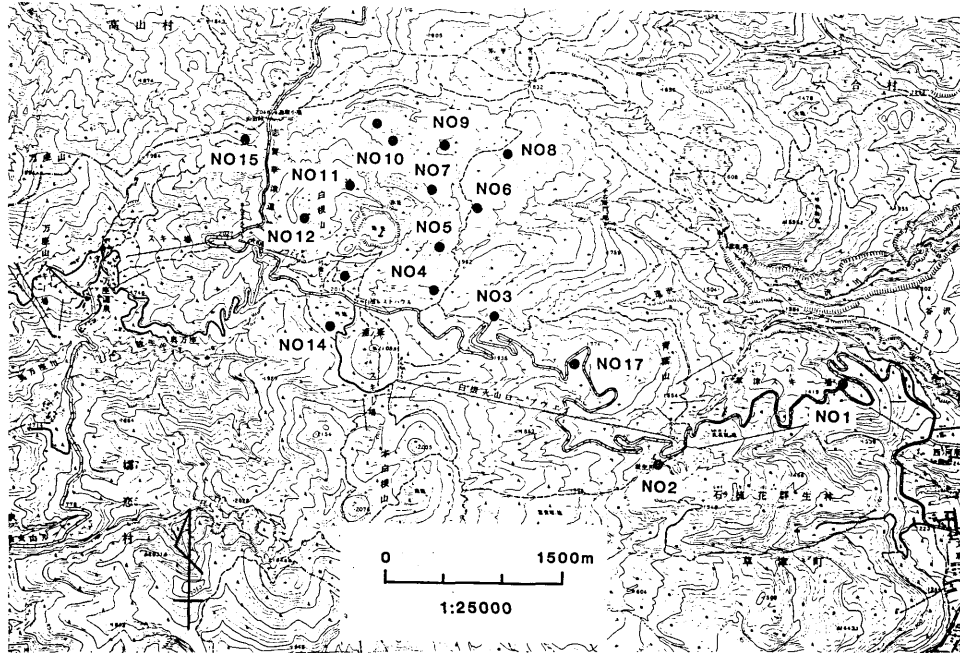
# 草津白根山における地磁気・電気抵抗観測\*

気象庁 地磁気観測所  
東京大学 地震研究所

草津白根山における地磁気観測は、1976年の水釜における水蒸気爆発以来毎年繰り返し測量を実施し、観測結果は噴火予知連絡会などにその都度報告<sup>1), 2), 3), 4), 5), 6)</sup>してきた。今回は、1981年10月16日～10月21日にかけて実施した磁気測量と湯釜、水釜周辺の電気抵抗測定の結果について報告する。

## 1. 磁気測量

測点の配置を第1図に示す。測点は17点で主として湯釜、水釜の活動域を中心に配置してある。測量に使用した測定器はG 816型プロトン磁力計(№813)で、別に逢の峰南側の本白根ロッジに参照点を設け、日変化の地域差補正のためG 805M型プロトン磁力計による連続観測も実施した。解析は前回までと同じく、基準観測所を八ヶ岳地磁気観測所とし、観測期間中の外部磁場変化の比較的静穏であった10月17日および10月19日の0時00分～02時59分の毎分測定値の3時間平均値で参照点と八ヶ岳の差を求め、この夜間値の差を介して各測点と基準点(八ヶ岳)の差を算出した。



第1図 全磁力測量点分布

Fig. 1 Distribution of magnetic survey points

このようにして求めた全磁力の測点一八ヶ岳の1976年以降今回までの測定結果を第2図に示す。観測

\* Received Apr. 3, 1982

開始以来の八ヶ岳との差の変動の状況をみると、多くの測点は減少の傾向にあるが、逆に増加の傾向を示す測点№4、№5、増減が少なく平坦な状態を示す測点№6、増減の変動の大きい測点№2、№8に分類することが出来る。

一方、全磁力の永年変化の状態は、磁気図（海上保安庁水路部 1975）によると全磁力の年変化率は八ヶ岳 +7.03 ‰/年、草津白根山付近 +6.67 ‰/年で、草津白根山一八ヶ岳の差は5年間で(6.67 - 7.03) × 5 = -1.8 ‰となる。ΔF(草津白根山一八ヶ岳)の変化では減少のセンスとなり、第2図に示す大部分の測点の減少の傾向と一致する。差の変動が増加する測点、変化の少ない測点等を地域的に示したのが第3図である。

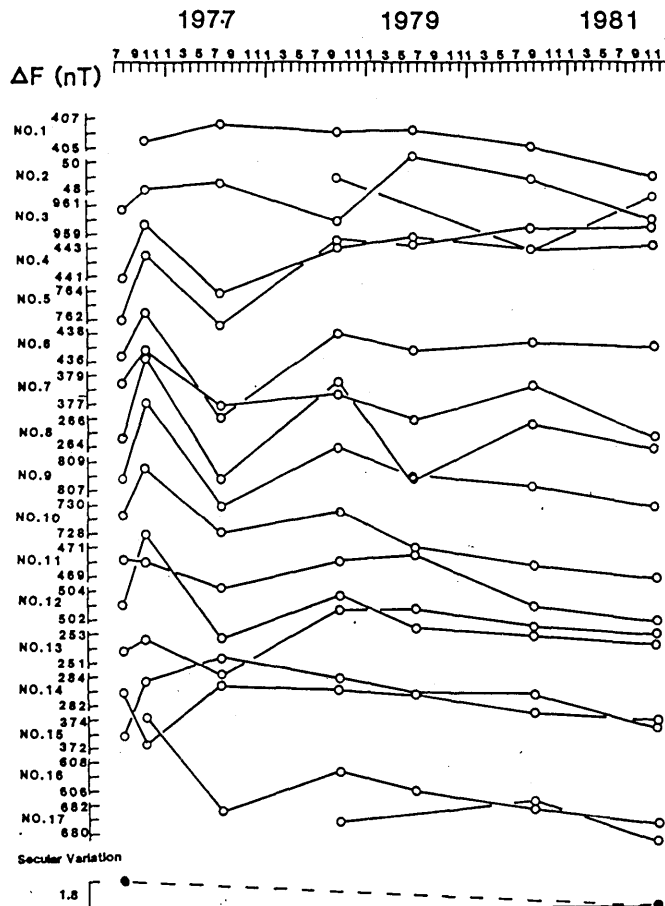
永年変化の傾向と異なる変動を示すと見られる№4、№5、№6、№8は、湯釜、水釜の南東から北東にかけその地域で、永年変化の異常地域とみることができる。この原因については、火山活動に関連する磁場変化と推定されるが、測点の磁場が強まっている傾向にあり、火山活動としては衰退期にあるとの見方ができる。このような結果から、この地域は永年変化の異常域であり、今後の草津白根山の活動の監視に重要な測点と考えられ、引き続き慎重な繰り返し測定が必要と考えられる。

## 2. 電気抵抗測定

VLF帯の人工標準電波（周波数 17.4 kHz）を利用して湯釜、水釜周辺地域の電気抵抗分布を求めた。地中電場の電波の到来方向の成分と、それと直交する方向の空中の磁場成分とを測定し、電場と磁場の比から見かけ比抵抗と、

電場と磁場の間の位相差を求めた。使用した測定器は Geonics 社の EM16R である。17.4 kHz の電磁波の浸透深度は、地殻の電気抵抗を  $10 \Omega \cdot m$ とした場合約 10m である。第4図に各測点の分布ならびに見かけ比抵抗と電場、磁場の位相差を示す。測点は湯釜、水釜の周辺域が 50 点、水釜の北東斜面が 25 点である。見かけ比抵抗は図の右下のスケールによって棒線で、位相差は棒線を基準として角度で示してある。

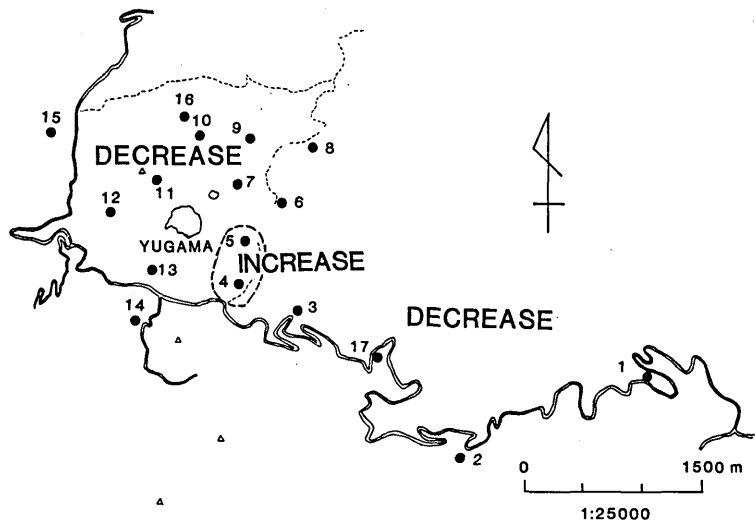
第4図で明らかなことは、湯釜の南東から水釜の周囲、湯釜の北側および水釜の内部は極めて抵抗が低



第2図 各測点と八ヶ岳の全磁力差の経年的変動

Fig. 2 Differences in total intensity between survey points and Yatsugatake magnetic observatory

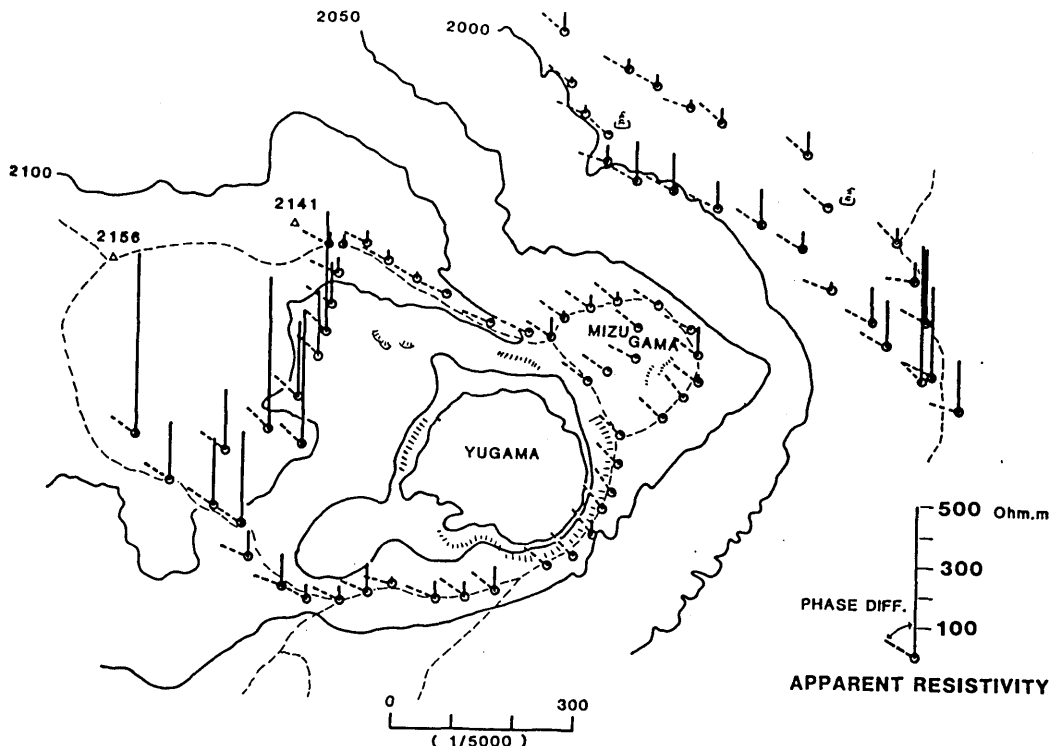
く、水釜の周囲および内部の15点の平均値は $R = 24 \Omega \cdot m$ 、位相差 $53^\circ$ である。これに対して湯釜の西側では、全体的に高い抵抗値を示し、値は $140 \sim 600 \Omega \cdot m$ を示し西側の測点11点の平均値は $R = 315 \Omega \cdot m$ 、位相差は水釜周辺と変わりなく $53^\circ$ である。水釜の北東側斜面は、平均的には $R = 105 \Omega \cdot m$ 、位相差 $61^\circ$ であるが、噴気地帯では数 $\Omega \cdot m$ の抵抗値を示すのが特徴的である。噴気地帯が低い抵抗値を示すことは、吾妻山の淨土平周辺部の測定結果<sup>7)</sup>とも一致している。



第3図 全磁力差の経年的変動の傾向と測点の分布

Fig. 3 Anomalous long-term variation of the differences in total intensity in Kusatsu-Shirane volcanic area

今回の測定では、全磁力永年変化の異常域の測定は実施できなかったが、今後も測点分布を拡げ、繰り返し測定を実施したいと考えている。



第4図 VLFによる電気抵抗測定結果

Fig. 4 Apparent resistivity obtained from measurements of VLF wave of 17.4 KHz.

## 参 考 文 献

- 1) 気象庁地磁気観測所・東京大学地震研究所(1977)：草津白根火山地磁気調査，火山噴火予知連絡会会報，8，44-50。
- 2) 河村謙・大地洸・森俊雄・行武毅・本蔵義守・小山茂(1977)：草津白根山における地磁気調査，地磁気観測所技術報告，17特別号(CAシンポジウム講演論文集)，225-230。
- 3) 気象庁地磁気観測所・東京大学地震研究所(1978)：草津白根山の全磁力変化(Ⅱ)，火山噴火予知連絡会会報，12，63-64。
- 4) 河村謙・大地洸・森俊雄・行武毅・本蔵義守・小山茂(1978)：草津白根火山における全磁力測定，東京大学地震研究所彙報，53，No.2，607-612。
- 5) 地震予知研究計画地磁気研究グループ(1977)：地磁気全磁力観測結果—1969～1976，地磁気観測所技術報告，17特別号(CAシンポジウム講演論文集)，3-14。
- 6) 気象庁地磁気観測所・東京大学地震研究所(1980)：草津白根山における全磁力変化(Ⅳ)，第20回火山噴火予知連絡会報告(10.28)
- 7) 行武毅・吉野登志男・歌田久司・河村謙・大地洸・水野喜昭・小池捷春・小管正裕(1981)：吾妻山浄土平周辺の電気抵抗ならびに地磁気測定，吾妻火山集中総合観測報告，69-86。